

## 隣接する二つの時間間隔の知覚に関する研究

宮内, 良太

---

<https://doi.org/10.15017/458891>

---

出版情報 : Kyushu University, 2004, 博士（芸術工学）, 課程博士  
バージョン :  
権利関係 :

## 第4章 双方向の同化が生じるメカニズム

二つの時間間隔を隣接させると、それぞれの時間間隔の主観的な長さが近づく同化が生じることが分かった。特に、先行する時間間隔にも系統的な過大評価や過小評価が生じることを統計的にも示すことができたのは、先行研究とは異なる新しい発見である。本章では、このような双方向の同化が生じる知覚メカニズムについて、さらに詳しく考察していくこととする。

まずは、時間縮小錯覚の生じるメカニズムを説明したモデルについて詳しく述べておく。時間縮小錯覚は、時間間隔を隣接させた刺激パターンの知覚に大きく影響する現象であり、時間縮小錯覚と双方向の同化の知覚メカニズムとは、密接に関連しているはずである。

時間縮小錯覚のモデルについての簡単な説明は、第1章でも述べた。このモデルでは、時間間隔の長さを符号化するために要する付加的な処理時間  $\alpha$  というものを想定している。主観的な時間間隔の長さは、その物理的な長さに  $\alpha$  を付け加えた長さとなる。もし、隣接する二つの時間間隔を知覚するときに、 $t_2$  の物理的な長さが、 $t_1$  の物理的な長さよりも長く、かつ  $t_1$  に  $\alpha$  を付け加えた長さよりも短ければ、 $t_2$  の長さを符号化する途中で  $t_1$  と  $t_2$  とがほぼ等時であると判定され、 $t_2$  の長さを符号化するのに要する残りの処理時間が短縮される。そのために、 $t_1$  の物理的な長さと  $t_2$  の物理的な長さとの関係が、 $t_1 < t_2 < t_1 + \alpha$ 、かつ、 $t_1 < 200\text{ ms}$  の条件を満たす時間条件で、 $t_2$  が過小評価される。

しかし、多くの実験から得られた定量的なデータを詳細に分析すると、この基本的なモデルによる予測値と実験結果との間に若干の食い違いが見られた (Nakajima et al., 2004)。特に、 $t_1$  の物理的な長さと  $t_2$  の物理的な長さとが全く同じ時間条件において、 $t_2$  に過小評価が生じる現象が、多くの実験において定常的に現れていた。時間縮小錯覚のモデルでは、この条件で過小評価が生じる現象をうまく説明することが出来ない。そこで、このような、モデルと実測値とのずれを補正するために、Nakajima et al. (2004) は、”絶対弁別閾  $DL$  (absolute difference limen)” を導入することでモデルの修正を試みた。絶対弁別閾とは、二つの時間間隔の違いが分かる閾値のことである。つまり、二つの時間間隔の違いが  $\pm DL$  の範囲である場合には、二つの時間間隔の長さが等時であると判断される。彼らは、閾値を測定する多くの実験の結果を参考に、隣接する二つの時間間隔では、時間間隔の物理的な長さが 200 ms 以下のときの  $DL$  がだいたい 10 ms から 20 ms の値で一定にな

ると推定し、 $DL$  を 15 ms に設定している。

$DL$  を導入して時間縮小錯覚のモデルを修正することで、 $t_2$  に生じる過小評価量は、以下のように予測される。なお、式の中で用いている記号は、 $\alpha$  が付加的な処理時間を、 $DL$  が絶対弁別閾を、 $TS$  が  $t_2$  に生じる過小評価量をそれぞれ表している。

<u>時間条件</u>	<u>過小評価量</u>	
$t_2 - t_1 \leq -DL$ [ms]	$TS = 0$	(7)
$-DL < t_2 - t_1 \leq \alpha - DL$ [ms]	$TS = (1 - \omega)(t_2 - t_1 + DL)$ [ms]	(8)
$\alpha - DL \leq t_2 - t_1 \leq \alpha + DL$ [ms]	$TS = (1 - \omega) \alpha$ [ms]	(9)
$t_2 - t_1 > \alpha + DL$ [ms]	$TS = 0$	(10)

このモデルを実験によって得られた定量的なデータに当てはめると、 $\alpha = 80$  [ms]、 $DL = 15$  [ms]、 $\omega = 0.42$  と設定したときに、データとの対応が最も良くなる(図 27)。よって、モデルによって予測される  $t_2$  の過小評価量は、 $-15 < t_2 - t_1 \leq 65$  [ms] の範囲で、 $(1 - 0.42)(t_2 - t_1 + 15) = 0.58(t_2 - t_1) + 9$  の式に従って直線的に増加し、 $t_2 - t_1 = 65$  [ms] で最大となる。その後、 $65 < t_2 - t_1 \leq 95$  [ms] の範囲では、約 46 ms で一定となり、 $t_2 - t_1$  が 95 ms を超えると、急激に過小評価がなくなってしまう。この予測値は、実験によって得られたデータをよく記述しており、 $t_2$  に生じる時間縮小錯覚の傾向をおおまかに示すことができる。

一方、本研究で得られた定量的なデータを分析すると、 $t_2$  が  $t_1$  よりも短い条件( $t_2 - t_1 \leq -DL$  ms)で、 $t_2$  に過大評価が生じていた(第3章の図 23, 25 を参照)。また、 $t_1$  にも  $t_2$  を隣接させることによって有意な過大評価や過小評価が生じていた(第2章の図 23, 25, 26 を参照)。 $t_1$  の過大評価量の変化と  $t_2$  の過大評価量の変化との関係を観察すると、それぞれの PSE がお互いに近づく方向に変化しており、双方向の同化が生じていることが分かった。この現象は、時間縮小錯覚のモデルでは想定されておらず、時間縮小錯覚とは別の知覚現象を新しく発見することができたといえる。この双方向の同化の生じるメカニズムについて考察を進めるために、 $t_1$  に生じる過大評価量の変化の傾向を詳しく分析することにした。 $t_2$  には、時間縮小錯覚と双方向の同化とが生じていると考えられ、時間縮小錯覚の生じない  $t_1$  について分析を進めることで、双方向の同化のみを取り出すことができる。

まずは、時間縮小錯覚と双方向の同化とが、異なる処理段階で生じていると仮定した。これは、第3章の考察でも述べた考え方である。音列を知覚する際には、まず、即時的な処理段階で時間縮小錯覚によって  $t_2$  に過小評価が生じる。次に、より高次の処理段階で、

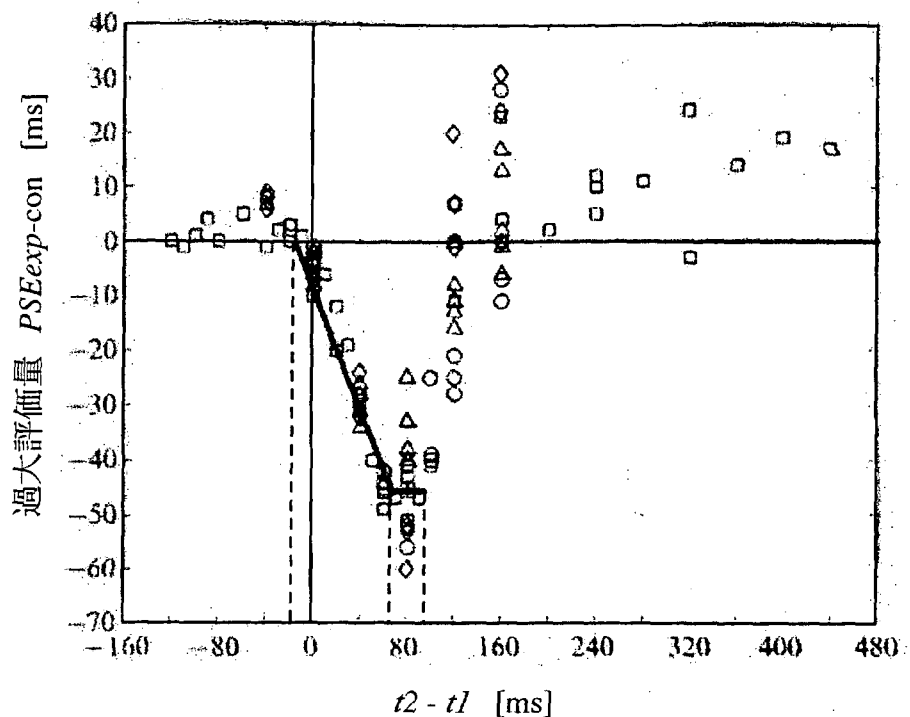


図 27  $t_2$  における過大評価量の変化 (Nakajima et al., 2004)。様々な時間条件における  $t_2$  の PSE を測定し、得られた結果から計算した過大評価量 ( $PSE_{exp-con}$ ) を、横軸に  $t_2 - t_1$  をとって図示している。式(7)から式(10)で求められる TS の値を実験結果とともに太い線で示している。

隣接する二つの時間間隔の主観的な長さの比較が行われる。このような高次の処理段階を想定しないと、後から呈示された  $t_2$  によって、すでに知覚されている  $t_1$  の長さに過小評価や過大評価が生じる現象を説明できない。そこで、時間縮小錯覚が生じた後に、より高次の処理段階があると仮定し、双方向の同化はこの高次の処理段階で生じていると考えた。

上で仮定したように高次の処理段階で双方向の同化が生じるとすれば、その時点で、すでに  $t_2$  には時間縮小錯覚が生じており、 $t_2$  は過小評価されているはずである。よって、双方向の同化は、 $t_1$  の長さと過小評価された  $t_2$  の長さとの間に生じると考えられる。双方向の同化の生じるメカニズムを知るためにには、 $t_1$  と  $t_2$  と差を変数にして結果を解析するのではなく、 $t_1$  と過小評価された  $t_2$  との差を変数にして結果の傾向を観察する必要があると考えられる。なお、今後は、過小評価された  $t_2$  の長さを  $t'_2$  と表記する。ここでは、 $t'_2$  を、式(7)から式(10)に示した時間縮小錯覚のモデルによって予測される過小評価量 (TS) を

用いることで、 $t'_2 = t_2 - TS$  の式で求められる値とした。

このような仮説が、実際に得られたデータを説明しうるかどうかを検討するために、実験 5、実験 6、実験 7 で得られた  $t_1$  の過大評価量をまとめてグラフに示した(図 28)。 $t_1$  の過大評価量の傾向を観察すると、1:1 カテゴリに含まれる時間条件では、 $t_1 - t_2$  が増加するに従って過大評価量が単調に減少している。よって、この範囲の過大評価量の変化は、直線で近似することができると考えられる。そこで、同化が生じている時間条件 ( $-80 \leq t_1 - t_2 \leq 40$  ms) から得られた  $t_1$  の過大評価量のみを用いて、近似直線を求めた[式(11)]。また、対比が生じている  $t_1 - t_2 > 40$  ms の範囲に含まれる時間条件の結果からも同様にして近似直線を求めた[式(12)]。

$$PSE_{exp-con} = -0.16(t_1 - t_2) - 5.34 \quad -80 \leq t_1 - t_2 \leq 40 \text{ [ms]} \quad (11)$$

$$PSE_{exp-con} = 0.08(t_1 - t_2) + 4.47 \quad 40 < t_1 - t_2 \text{ [ms]} \quad (12)$$

式(11)と式(12)とを比較すると、 $t_1 - t_2 = 40$  [ms] を境にして、実験から得られた結果が明らかに異なる関数で近似されることが分かる。式(11)では、傾きが負の数となっており、 $t_1 - t_2$  の増加に従って過大評価量が小さくなることを示している。一方、式(12)では、傾きが正の数となっており、 $t_1 - t_2$  の増加に従って過大評価量が大きくなることを示している。よって、同化の生じている時間条件と対比の生じている時間条件とでは、時間間隔の知覚が異なる関数に支配されていることは明らかである。ただし、実験の結果をみると、対比による過大評価量は、 $t_1 - t_2$  が増加してもほとんど変化していないように見える。得られた近似直線が正の傾きを示したのは、おそらくカテゴリ境界周辺での過大評価量の分散が大きいことが影響していると思われる。よって、二つの時間間隔の差がより大きい条件の PSE を測定して過大評価量を求めるとき、 $t_1 - t_2$  の増加にかかわらず過大評価量は約 20 ms で一定になると考えられる。

式(11)を見ると、切片が -5.34 となっている。これは、 $t_1$  の物理的な長さと  $t_2$  の物理的な長さとが全く同じ時間条件で  $t_1$  に過小評価が生じることを示している。もし、 $t_1$  と  $t_2$  との差を小さくするために同化が生じているとするならば、この条件で過小評価が生じる現象を説明することができない。そこで、先に定義した  $t'_2$  を用いて実験結果を再分析した。もし、双方向の同化が  $t_1$  と  $t'_2$  との関係に依存して生じるならば、 $t_1 - t_2$  ではなく、 $t_1 - t'_2 = t_1 - (t_2 - TS)$  の値を用いて結果を分析する方が、双方向の同化による過大評価量の変化をうまく表すことができるはずである。まずは、時間縮小錯覚のモデル[式(7)~

式(10)]を用いて、時間条件ごとの $t_1 - t'_2$ を計算した[式(13)～式(16)]。

時間条件	$\frac{t_1 - t'_2}{t_1 - t'_2}$	(13)
$t_1 - t_2 \geq 15$ [ms]	$t_1 - t'_2 = t_1 - t_2$ [ms]	(13)
$-65 \leq t_1 - t_2 < 15$ [ms]	$t_1 - t'_2 = t_1 - \{t_2 - (1 - \omega)(t_2 - t_1 + DL)\}$ $= 0.42(t_1 - t_2) + 8.7$ [ms]	(14)
$-95 \leq t_1 - t_2 < -65$ [ms]	$t_1 - t'_2 = t_1 - \{t_2 - (1 - \omega) \alpha\}$ $= t_1 - t_2 + 46.4$ [ms]	(15)
$t_1 - t_2 < -95$ [ms]	$t_1 - t'_2 = t_1 - t_2$ [ms]	(16)

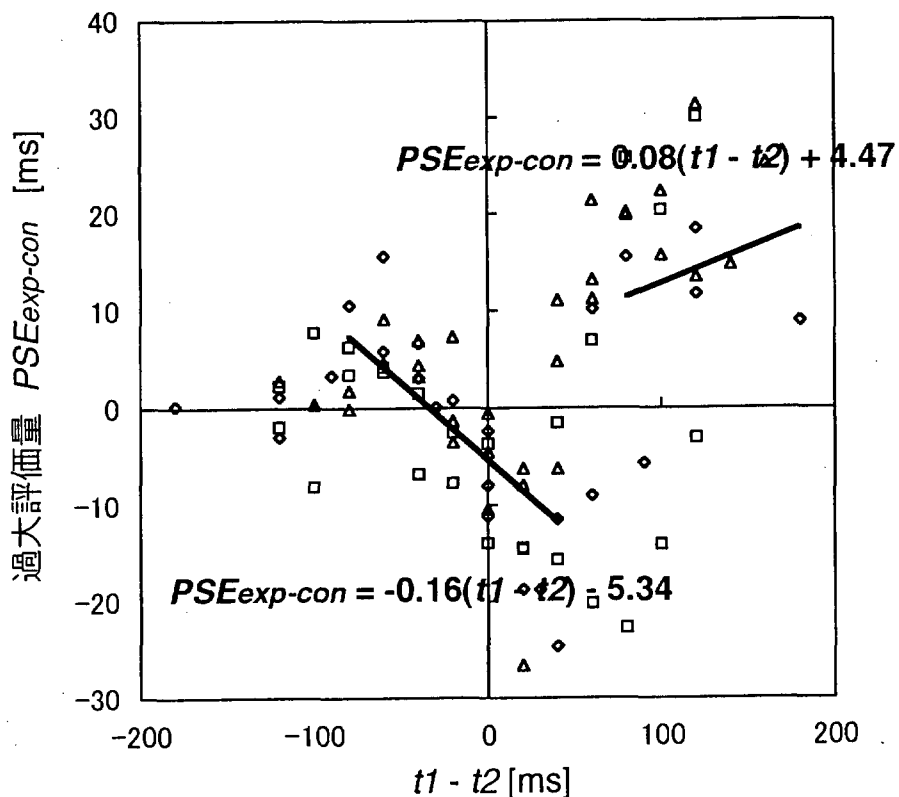


図28 実験5、実験6、実験7で得られた $t_1$ の過大評価量のグラフ。実験5の結果を $\diamond$ で、実験6の結果を $\square$ で、実験7の結果を $\triangle$ でそれぞれ表している。また、同化の生じている $-80 \leq t_1 - t_2 \leq 40$  [ms]の範囲に含まれる時間条件の結果から求めた回帰直線[式(11)]と、対比の生じている $t_1 - t_2 > 40$  [ms]の範囲に含まれる時間条件の結果から求めた回帰直線[式(12)]とをグラフに示した。

次に、時間条件ごとの  $t_1 - t'_2$  を式(13)～式(16)を用いて計算し、その値を横軸に取つて、同化の生じる範囲 ( $-80 \leq t_1 - t'_2 \leq 40$  [ms]) に含まれる結果のみを図示した(図29)。また、得られた値を用いて近似直線を計算し、あわせて図示した[式(17)]。

$$PSE_{exp-con} = -0.38(t_1 - t'_2) - 1.99 \quad -80 \leq t_1 - t'_2 \leq 40 \text{ [ms]} \quad (17)$$

図29から、 $t_1 - t'_2 = 0$  のときに過大評価量が0周辺に集まる傾向が見て取れる。 $t_1$  と  $t'_2$  とが同じ長さになるときに、双方向の同化の影響がなくなっているといえる。この条件での  $t_1 - t'_2$  は、-21 ms である。ten Hoopen et al. (1995) は、標準時間  $S$  の前、もしくは後に比較時間  $C$  を隣接させて表示し、 $C$  の長さを  $S$  と等しく感じられるように調整する実験を行った。その結果、 $S$  の後に  $C$  を表示した場合には、 $C$  が  $S$  の物理的な長さよりも長くなり、 $S$  の前に  $C$  を表示した場合には、 $C$  が  $S$  の物理的な長さよりも短くなる、つまり、隣接する時間間隔の主観的な長さを等しくするためには、 $t_1$  よりも  $t'_2$  を物理的にわずかに長くする必要があることを報告している。どれくらい  $t_2$  を長くすれば隣接する時間間隔の長さが等しく感じられるかは、時間間隔の長さによって変化するが、本実験で用いたような 100 ms から 200 ms 程度の短い時間間隔の場合には、約 20 ms であった。これは、先ほど示した  $t_1 - t'_2 = 0$  となる時間条件における  $t_1 - t'_2$  の値とほぼ等しくなっている。 $t_1$  と  $t'_2$  とを比較することで、二つの時間間隔の等時性を判断していると考えることで、ten Hoopen et al. (1995) が報告した結果についてもうまく説明することができる。

横軸を  $t_1 - t'_2$  に変換することで、 $t_1 - t'_2 = 0$  [ms] の条件で  $t_1$  に過小評価が生じた点についてもうまく説明することができる。この時間条件の  $t_1 - t'_2$  の値は、8.7 ms となる(図29の点線で囲んだ結果)。よって、横軸に  $t_1 - t'_2$  をとって図示すると、正の方向にずれた位置に結果が配置される。つまり、 $t'_2$  よりも  $t_1$  の方が長くなっている。この  $t_1$  と  $t'_2$  との差を小さくするために同化が生じるとすれば、 $t_1$  には過小評価が生じることになり、結果と理論との矛盾は、解消される。

次に、双方向の同化が生じる時間条件の範囲に注目した。 $t_1 - t'_2$  を横軸にとって結果を分析すると、双方向の同化は、 $-80 \leq t_1 - t'_2 \leq 40$  [ms] の範囲で生じており、 $t_1 > t'_2$  に比べて、 $t_1 < t'_2$  の方が双方向の同化が起こりやすいといえる。つまり、同化の生じる範囲が時間的に非対称である。しかし、横軸を  $t_1 - t'_2$  に変換することで、双方向の同化が生じる範囲が  $-40 < t_1 - t'_2 \leq 40$  [ms] となる。よって、 $t_1 = t'_2$  を中心に、ほぼ対象な範囲で同化が生じていることになる。 $t_1$  と  $t'_2$  との差を小さくする方向に双方向の同化が生じると考えれば、双方向の同化は、時間縮小錯覚のように時間的に非対称な同化ではなく、対称的

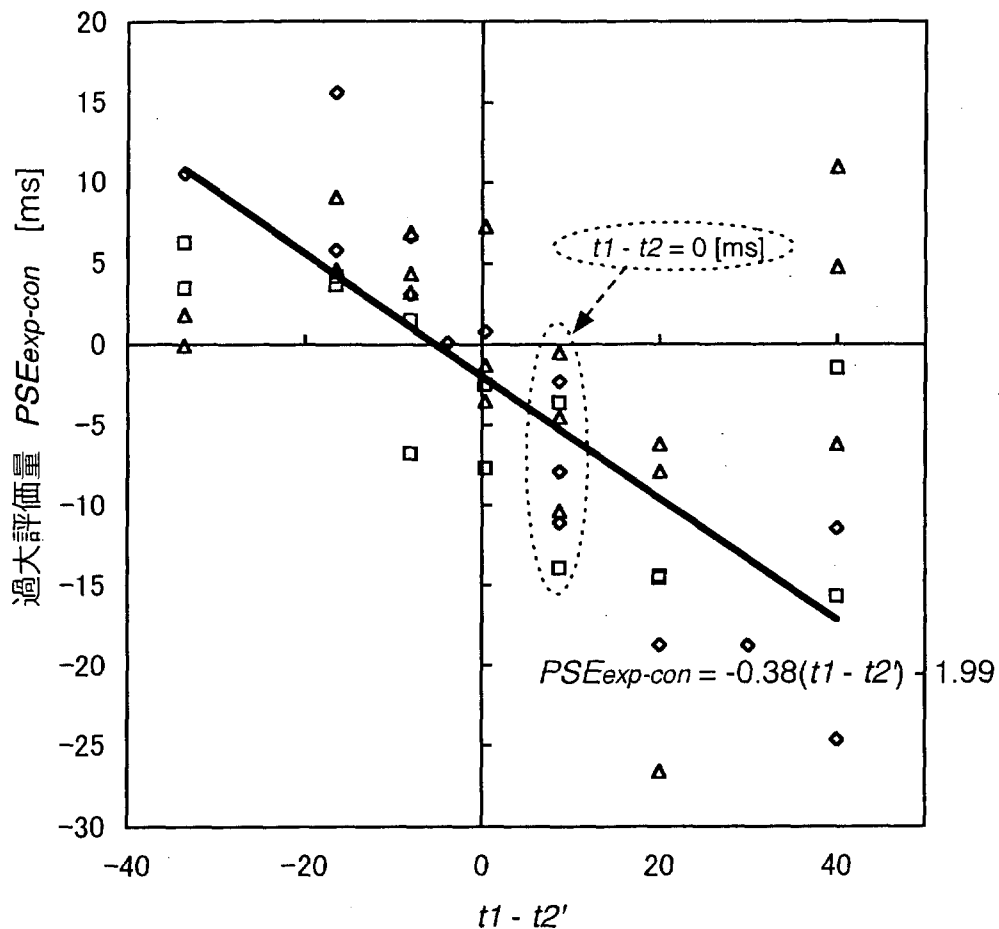


図 29  $-80 \leq t_1 - t_2 \leq 40$  ms の範囲に含まれる時間条件の過大評価量を、横軸を変換して図示したグラフ。横軸は、式(13)から式(16)までを用いて時間条件ごとに計算した  $t_1 - t_2'$  の値である。実験 5 の結果を  $\diamond$  で、実験 6 の結果を  $\square$  で、実験 7 の結果を  $\triangle$  でそれぞれ表している。変換した値を用いて求めた近似直線もあわせて図示した [式(17)]。

な性質を持った一般的な同化と同じ特徴を持つといえる。

$t_1 - t_2'$  をもとに分析した結果から求めた近似直線 [式(17)] をみると、切片が負の数となっている。しかし、その値は小さく  $t_1$  の過大評価量の変化は、ほぼ原点を通る直線で近似できると考えられる。よって、双方向の同化によって  $t_1$  に生じる過大評価量  $\beta_1$  は、 $-a * (t_1 - t_2')$  の式で近似することができる。なお、 $a$  は双方向の同化の効果量を示す定数であり、実験の結果から約 0.4 の時に当てはまりがよい。

このように、 $t_1$  と  $t'_2$  との関係をもとにして、実験から得られた結果を分析すると、 $t_1$  に生じた過小評価や過大評価の傾向をうまく説明することができた。また、双方向の同化が一般的な同化現象と同様の性質を持っていることも示すことができた。よって、この仮説は、 $t_1$  の知覚過程をうまく表しているといえる。

次に、 $t_2$  に生じる同化現象についても、この仮説をもとに考察してみる。 $t_2$  に生じる同化には、時間縮小錯覚と双方向の同化の両方が影響を与えていると考えられることはすでに述べた(3.1.5節)。この仮定が正しいとすれば、実験によって測定した  $t_2$  の PSE から求めた過小評価量  $TS$  には、時間縮小錯覚と双方向の同化の両方が影響を与えていると考えられる。 $t_2$  に生じる双方向の同化による錯覚量を  $\beta_2$  とすると、時間縮小錯覚が生じる時間条件での純粋な時間縮小錯覚による錯覚量  $TS'$  は、 $TS - \beta_2$  となるはずである。しかし、実験によって測定した  $t_2$  の PSE のみを用いて  $TS$  から  $\beta_2$  の影響を分離することは難しい。この  $\beta_2$  は、 $t_1$  と  $t_2$  との関係によって変化する変数である。これは、 $t_1$  に生じる過大評価量の変化を見ても明らかである。よって、 $TS$  から  $\beta_2$  を分離するためには、 $\beta_2$  の変化を関数によって近似する必要がある。このような  $\beta_2$  による影響を近似するためには、 $15 < t_1 - t_2 \leq 40$  ms の条件で生じている  $t_2$  の過大評価を分析するしか手はない。この条件は時間縮小錯覚の生じる範囲から外れており、 $\beta_2$  のみが作用していると考えられる。しかし、25 ms という非常に短い範囲の結果から有用な関数を得るために、膨大な定量的データが必要である。

そこで、双方向の同化によって  $t_1$  に生じる過大評価量  $\beta_1$  から、 $t_2$  に生じる過大評価量  $\beta_2$  を類推することを試みた。時間縮小錯覚の影響しない /140/100/ における  $t_1$  と  $t_2$  の過大評価量は、それぞれ -11.5 ms と 13.8 ms であり、過大評価量の絶対値がほぼ等しい大きさとなっている(実験 5)。この結果から、双方向の同化は、 $t_1$  と  $t_2$  とに同程度の効果を与えていると仮定した。 $t_1$  における過大評価量は、 $\beta_1 = -a * (t_1 - t'_2)$  の式で近似できる。よって、双方向の同化による  $t_2$  の過大評価量の変化は、式(18)で表せる。

$$\beta_2 = -\beta_1 = -\{-a * (t_1 - t'_2)\} = a * (t_1 - t'_2) = a * (t_1 - t_2 + TS) \quad (18)$$

$t_1$  に生じる過大評価量の傾向から  $a = 0.4$  のときに予測値と結果との当てはまりがよいことが分かっている。そこで、この近似式(18)に  $a = 0.4$  を代入した直線から予測される  $\beta_2$  と、実験で得られた  $t_2$  の過大評価量の対応を見るために、 $TS = 0$ 、かつ、双方向の同化が生じている  $15 \leq t_1 - t_2 \leq 40$  [ms] での結果を図に示した(図 30)。図 30 をみると、実験結果は予測値よりも全体的に小さくなってしまっており、実験結果と予測値との間にあまりよ

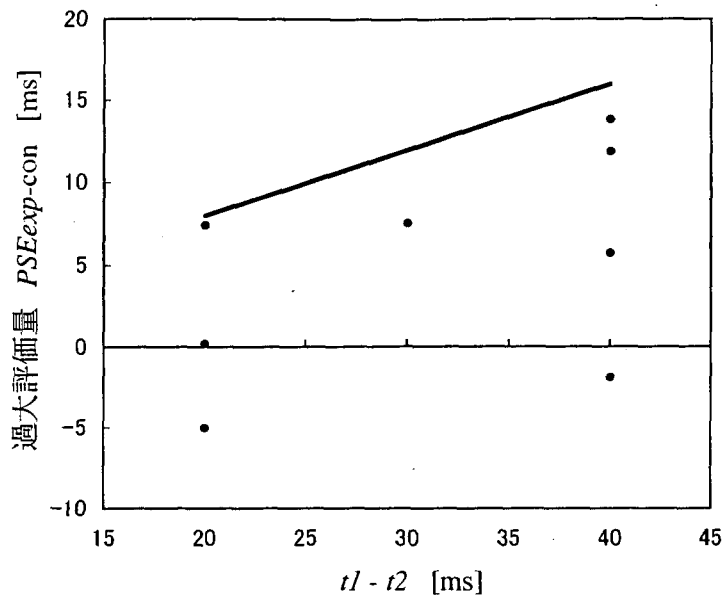


図30  $15 \leq t_1 - t_2 \leq 40$  [ms] における  $t_2$  の過大評価量。実験5、実験6、実験7の結果をまとめて図示している。図中の直線は、式(18)によって予測される  $t_2$  の過大評価量の値を示している。

い対応はみられない。 $t_1$  に生じる双方向の同化の近似式から  $t_2$  に生じる双方向の同化を類推する方法では、 $\beta_2$  をうまく求めることができなかった。やはり、 $t_2$  に生じる時間縮小錯覚と双方向の同化とを分離するためには、 $15 \leq t_1 - t_2 \leq 40$  [ms] でのデータを増やす必要がある。

双方向の同化は、時間縮小錯覚の生じる即時的な処理段階よりも後の処理段階で生じる現象であると仮定し、 $t_1$  と過小評価された  $t_2$  との差をもとに実験結果を分析した。その結果から、 $t_1$  に生じる同化の傾向をうまく説明することが出来た。また、 $t_1$  に生じる同化が一般的な同化現象と同様の特徴を持っていることも示すことができた。この仮説は、 $t_1$  の知覚過程をうまく表しているといえる。ただし、隣接する二つの時間間隔の物理的な関係から、双方向の同化による効果量を線形的に求めることができるようなモデルを提案するためには、 $t_2$  に生じる時間縮小錯覚と双方向の同化とを分離する必要がある。本研究で行ったような実験方法で得られたデータから、この問題を解決するためには膨大な定量的データを収集するしかない。しかし、主観的な長さを測定する方法は、実験参加者にかかる負担が著しく高く、このような手法でこの仮説を検討することは現実的ではない。今後

は、用いる刺激パターンや測定方法を変えることで二つの現象を別々に調べることができ  
るような実験を計画する必要がある。